



لیزرن
اپتیک و فوتونیک ایران

بیستمین کنفرانس اپتیک و فوتونیک ایران
و ششمین کنفرانس مهندسی و فناوری فوتونیک ایران
۸ تا ۱۰ بهمن ماه ۱۳۹۲ - دانشگاه صنعتی شیراز



تعیین نمایه دمایی پلاسما به روش توزیع بولتزمن در لیزر بخار مس با آینه های دی الکتریک و لایه نشانی شده با مس

میترا نبات^۱، علیرضا مرادی^{۲,۱}، سعید بهروزی نیا^۳، مریم قشلاقی^۳، سید حسن نبوی^۴ و کامران خراسانی^۳

^۱ گروه فیزیک، دانشکده علوم، دانشگاه زنجان، زنجان

^۲ پژوهشکده اپتیک و فوتونیک، دانشگاه تحصیلات تکمیلی در علوم پایه زنجان، زنجان

^۳ پژوهشکده لیزر و اپتیک، پژوهشگاه علوم و فنون هسته ای، تهران

^۴ دانشکده فیزیک، دانشگاه تربیت مدرس، تهران

چکیده - استفاده از آینه های فلزی در لیزر بخار مس و جایگزینی آن با آینه های دی الکتریک با توجه به امکان خنک شوندگی سریعتر آنها بسیار مورد توجه است. در این مقاله نتایج جایگزینی آینه های فلزی ساخته شده با آینه اصلی لیزر بخار مس بررسی شده است، و نمایه دمایی پلاسمای مس تشکیل شده در تیوب لیزر بخار مس با طول موج خروجی لیزر ۵۷۸/۲ و ۵۱۰/۶ نانومتر و با پهنای پالس ۲۰-۲۵ نانو ثانیه، با استفاده از گاز کمکی هوا در فشار 10^{-3} تور با استفاده از روش توزیع بولتزمن برای آینه لایه نشانی شده با مس و آینه اصلی لیزر بخار مس در شرایط تعادل ترمودینامیکی موضعی و توان ورودی یکسان در فرکانس های متفاوت اندازه گیری شده و نتایج بدست آمده تحلیل گردیده اند.

کلید واژه - آینه های لیزری، شرایط تعادل ترمودینامیکی، لیزر بخار مس، نمایه دمایی.

Determination of plasma temperature of copper vapor laser (CVL) by the use of Boltzmann plot method for CVL's mirror and copper coated mirror

Mitra Namnabat¹, Ali-Reza Moradi^{1,2}, Saeed Behrooziniya³, Maryam Gheshlaghi³, Seyed Hasan Nabavi⁴, Kamran Khorasani³

¹ Physics Department, University of Zanjan, Zanjan

² Optics Research Center, Institute for Advanced Studies in Basic Sciences, Zanjan

³ Laser and Optics Research School, Nuclear Science and Technology Research Institute, Tehran

⁴ Physics Department, University of Tarbiat Modares, Tehran

Abstract- In this paper, we determinate the temperature profile of a copper vapor laser (CVL) when its dielectric mirrors are replaced with metallic mirrors. The plasma is produced in CVL tube of 510.6 nm and 578.2 nm wavelengths, and with pulse width of 25-30 ns at about 10^{-2} Torr pressure. The experiment condition was preserved in local thermodynamic equilibrium. The temperature is obtained from the Boltzmann plot method for each cavity mirror. We examined the method for two different cases, copper coated on BK7 substrate, and the laser's fabric mirrors.

Keywords: Copper vapor laser, Laser's mirror, Local thermodynamic equilibrium, Temperature profile.

مقدمه

سبز ۵۱۰ نانومتر و زرد ۵۷۸ نانومتر دارای بیشترین انعکاس می باشد [۱و۲]. منبع تغذیه لیزر بخار مس مورد استفاده به صورت پالسی و در فرکانس کاری ۵ تا ۳۵ کیلوهرتز عمل می کند. منبع تغذیه باید بتواند جریان AC بر ق شه را به یک جریان DC با ولتاژ و جریان موردنظر تبدیل کند. مدار تخلیه الکتریکی در شکل (۱) نشان داده شده است. تایروترون روسی در مدار از نوع TGI1-25/1000 بوده و سایر اجزای مدار شامل حافظه های L1 و L2 و سلفهای Cs و Cp به ترتیب برابر با 100mH ، $150\mu\text{H}$ و $68\text{nF}/0.65\text{nF}$ انتخاب شده اند.

در این مقاله آینه های لیزر را با آینه هایی از جنس فلزی و با پوشش محافظ از جنس MgF₂ که به روش Physical Vapor Deposition (PVD) بر روی زیر لایه BK7 و زیر لایه مسی لایه نشانی شده است، جایگزین کرده، و توان خروجی لیزر در فرکانس های مختلف با هر یک از آینه ها اندازه گیری شد. سپس نمایه دمایی پلاسمای مس تشکیل شده در داخل تیوب لیزر بخار مس را با استفاده از روش توزیع بولت زمن با آینه لایه نشانی شده از جنس مس با زیر لایه BK7 و آینه اصلی لیزر بخار مس مورد بررسی قرار گرفت.

ساخت آینه

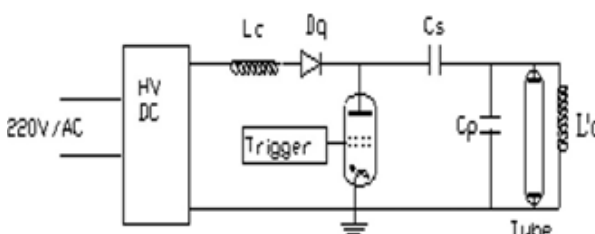
ساخت نمونه به روش لایه نشانی PVD و در خلاء توسط دستگاه لایه نشانی بالزر ۷۶۰ انجام شد. در این لایه نشانی ترتیب و ضخامت لایه ها به شرح زیر است:

$\text{Cr-Zr-Lایه}(150\text{nm})-\text{Cu}(300\text{nm})-\text{MgF}_2(100\text{nm})-\text{Cu}(300\text{nm})-\text{Cr}(150\text{nm})$
لایه نشانی در خلاء 10^{-6}Torr انجام شد. و هر یک از مواد فوق در بوته های جداگانه توسط باریکه تفنگ BK7 الکترونی تبخیر و روی زیر لایه های از جنس مس و BK7 انباسته گردید. آینه اصلی لیزر بخار مس در طول موج های مربوط به لیزر بخار مس بیشترین بازتابندگی را دارد. آینه های مسی با زیر لایه BK7 نسبت به آینه های مسی با زیر لایه مس بازتابندگی بهتری در طول موج های لیزر بخار مس دارد.

روش انجام آزمایش

برای انجام آزمایش و تعیین نمایه دمایی لیزر بخار مس با آینه اصلی و آینه لایه نشانی شده با مس، پس از تنظیمات و موازنی سازی لیزر، خلاء را در فشار 10^{-3}Torr تنظیم می کنیم. پس از به لیز رسیدن لیزر و ثابت

لیزر بخار مس (CVL) مورد استفاده شامل چهار قسمت مهم محفظه لیزر، سیستم خلاء، تشدیدگر نوری و منبع تغذیه می باشد. محفظه لیزر بخار مس دارای یک تیوب مرکزی است که تخلیه الکتریکی در آن صورت می گیرد. فلز مس داخل تیوب در دمای بالا تبخیر شده و در سرتاسر تیوب پخش می گردد. بخار مس به دلیل وجود گرادیان دما در راستای طولی مایل به انتشار به دو انتهای تیوب می باشد. لذا از هوا به عنوان گاز کمکی استفاده می شود تا براساس پدیده های برخورده ای از نفوذ بخار مس به دو انتهای سرد تیوب جلوگیری کند و به این ترتیب میزان اتلاف بخار مس کاهش یافته و از آلودگی پنجه رها جلوگیری شود، قطر و طول تیوب استفاده شده در این سیستم به ترتیب 16 mm و 600 mm می باشد. لیزرهای بخار مس در مد پالسی و با فرکانس بالا کار می کنند. در این لیزرهای معمولا از تخلیه الکتریکی به روش کاتد سرد استفاده می شود که توسط الکترون های شتاب گرفته در میدان الکتریکی قوی صورت می پذیرد [۱]. سیستم خلاء از مهم ترین فناوری های به کار رفته در لیزر بخار مس است. سیستم خلاء از یک پمپ روتاری تشکیل شده است به طوری که فشار تا حد 10^{-3}Torr پایین می آید [۱]. بهره ای اپتیکی بالا (80%) و عدد فرنل بزرگ، $N = a^2 / 2\lambda D$ (a: شعاع آینه، λ : طول موج نور، D: فاصله بین آینه هاست) در لیزرهای بخار مس این امکان را به وجود می آورد که بتوان در آن از کاواک اپتیکی ساده مشتمل از دو آینه تخت استفاده کرد. آینه عقب با درصد انعکاس حدود ۹۸٪ جهت افزایش توان لیزر و موازنی کردن مسیر پرتو ها استفاده می شود. آینه جلو نیز از جنس کوارتز و با درصد انعکاس حدود ۴٪ می باشد. آینه اصلی لیزر بخار مس از چندین لایه دی الکتریک بر روی زیر لایه BK7 تشکیل شده است که در طول موج های



شکل ۱: مدار تحریک لیزر بخار مس [۱]

بنابراین مقدار T از رابطه‌ی بالا قابل اندازه‌گیری است. همچنین با استفاده از توزیع بولتزمن

$$n = n_0 \exp\left(-\frac{E_K}{K_B T}\right)$$

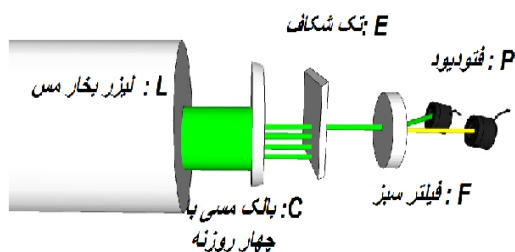
طرح واره چیدمان بکار رفته برای این اندازه‌گیری در شکل ۲ نشان داده شده است. در شکل، L لیزر بخار مس، C بالک مسی با چهار حفره، E تک شکاف، F فیلتر سبز و P فتو دیود، نمایش داده شده اند.

تحلیل نتایج تجربی

نمایه دمایی لیزر بخار مس برای هر یک از آینه‌ها، آینه اصلی لیزر و آینه لایه نشانی شده با مس در سه فرکانس مختلف در شکل ۳ آورده شده است. همانطور که در نمودار مشخص است دمای اندازه‌گیری شده با آینه‌ی مسی در روزنہ مرکزی مركزی دارای یک فرورفتگی می‌باشد. در حالی که در اندازه‌گیری با آینه اصلی حفره‌ی مرکزی دارای بیشینه مقدار دما می‌باشد. همچنین دمای آن در دیواره‌ها کمتر است که علت آن را می‌توان در کوچکتر بودن قطر آینه مسی نسبت به آینه اصلی و پوشش دهی کمتر آن در دهانه‌ی تیوب لیزر یافت. در حالی که در آزمایش با آینه اصلی دمای دیواره به دلیل برخورد اتم‌ها با جداره و بدنی لیزر نسبت به دمای مجاور بیشتر است. شکل ۴ تغییرات فرکانس بر حسب دما برای دیواره نشان داده شده است. همانطور که در نمودار مشخص است دما برای هر دو آینه در فرکانس‌های پایین مطابقت خوبی دارد. شکل ۵ میزان تغییرات دما در حفره‌ی مرکزی را بر حسب توان خروجی با آینه مسی نشان می‌دهد همانطور که در نمودار نیز مشخص است توان خروجی طول موج سبز به زرد تقریباً نسبت ۳ به ۲ دارند. شکل ۶ تغییرات فرکانس با نسبت n/n_0 برای دو آینه مختلف در طول موج سبز نشان می‌دهد. در شکل مشخص است که فرکانس با نسبت n/n_0 معکوس دارد و با کاهش فرکانس نسبت اتم‌های برانگیخته به اتم‌های حالت پایه در طول موج سبز افزایش می‌یابد. در این پژوهه نتایج تجربی تاثیر قرار دادن آینه لایه نشانی شده با مس در دمای اندازه‌گیری شده پلاسمای لیزر بخار مس ارایه و تحلیل گردید. اندازه‌گیری دما به روش توزیع بولتزمن تطبیق خوبی با اندازه‌گیری به روش‌های عددی و

ماندن توان خروجی، فرکانس را در بازه‌های بالاتر و پایین‌تر از فرکانس اولیه به طوری تغییر می‌دهیم که توان ورودی در محدوده‌ی 1300 W قرار گیرد.

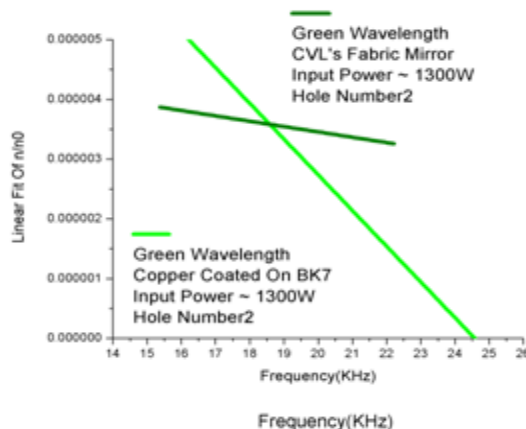
برای اندازه‌گیری دمای نقاط مختلف پلاسمای مس تشکیل شده در تیوب لیزر از چهار روزنہ کوچک (به شعاع 1 mm و به فاصله 2 mm از مرکز یکدیگر) که در یک جرم مسی (C) ایجاد شده استفاده می‌کنیم و آن را به صورت موازی در برابر لیزر (L) قرار می‌دهیم طوری که در روزنہ مرکزی در مرکز باریکه لیزری قرار گیرد. سپس با قرار دادن تک شکاف E در برابر هر یک از چهار باریکه خروجی از روزنہ‌ها یکی از آن‌ها انتخاب می‌شود. باریکه



شکل ۲: چیدمان آزمایشگاهی برای اندازه‌گیری دمای پلاسمای مس داخل تیوب لیزر انتخابی پس از برخورد با فیلتر سبز (F) تحت زاویه‌ی 45° درجه به نورهای سبز و زرد شکافته می‌شود. در نهایت شدت خروجی هر یک از پرتوهای سبز و زرد توسط فتو دیود (P) و اسیلوسکوپ اندازه‌گیری می‌شود. این آزمایش با چند فرکانس مختلف و تحت شرایط توان ورودی تکرار می‌یابد. دمای پلاسمای داخل تیوب لیزر بخار مس و در شرایط تعادل ترمودینامیکی موضعی (LTE) و با استفاده از معادله:

$$\frac{I_1}{I_2} = \left(\frac{l_{nm,z}}{l_{ki,z}} \right) \left(\frac{g_{k,z}}{g_{n,z}} \right) \left(\frac{A_{ki,z}}{A_{nm,z}} \right) \exp\left(-\frac{E_{k,z} - E_{n,z}}{K_B T}\right)$$

می‌توان نسبت جمعیت اتم‌های مس برانگیخته (n) را به جمعیت اتم‌ها در تراز پایه (n_0) به دست آوردن [۴] بدست می‌آید [۵]. در رابطه‌ی بالا I_1 شدت خطی برای گذار $i \rightarrow k$ و I_2 شدت خطی در گذار $n \rightarrow m$ است. λ طول موج گذار خطی و $g_{k,z}$ به ترتیب انرژی و تبهگنی تراز انرژی بالا و $A_{k,z}$ احتمال گذار هستند. K_B و T به ترتیب ثابت بولتزمن و دمای موضعی داخل تیوب می‌باشند. همه مقادیر به صورت ثابت برای لیزر بخار مس در دسترس می‌باشند و



شکل ۶: نمودار فرکانس بر حسب n/n_0 برای طول موج سبز روزنه دوم در فشار 10^{-3} Torr و توان ورودی حدود ۱۳۰۰ W.

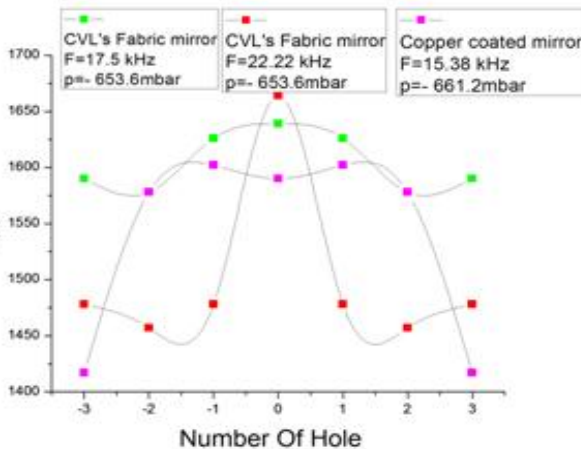
محاسباتی دارد. و نیز با توجه به اندازه گیری‌های انجام شده در شرایط مشابه برای هر یک از آینه‌ها خنک شوندگی سریعتر آینه‌های فلزی می‌توان از فلزاتی که در ناحیه‌ی طول موجی لیزر بخار مس بازتابندگی بیشتری دارند، به جای آینه لیزری استفاده کرد و توان قابل مقایسه‌ای نیز داشت.

نتیجه‌گیری

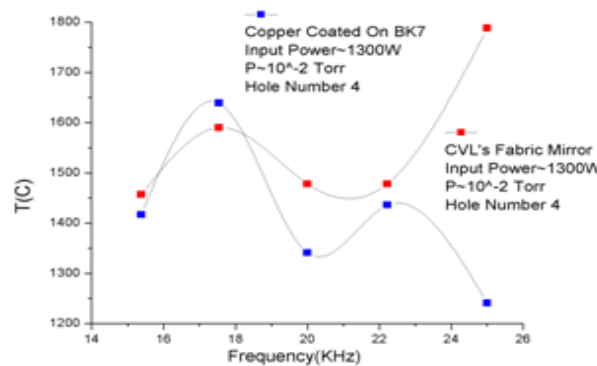
در این مقاله نتایج تجربی تاثیر قرار دادن آینه لایه نشانی شده با مس در دمای اندازه‌گیری شده پلاسمای لیزر بخار مس ارایه و تحلیل گردید. اندازه‌گیری دما به روش توزیع بولتزمون تطبیق خوبی با اندازه‌گیری به روش‌های عددی و تحلیلی دارد. با توجه به نتایج بدست آمده در شرایط مشابه برای هر یک از آینه‌ها خنک شوندگی سریعتر آینه‌های فلزی می‌توان از فلزاتی که در ناحیه‌ی طول موجی لیزر بخار مس بازتابندگی بیشتری دارند، به جای آینه لیزری استفاده کرد و توان قابل مقایسه‌ای نیز داشت.

مراجع

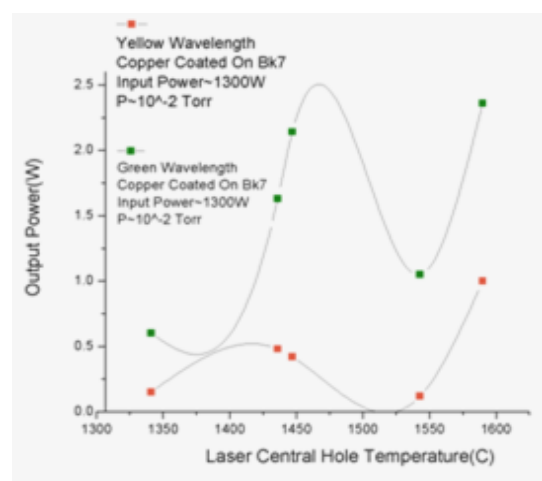
- [1] C. Elittle, *Metal vapor laser*, John Wiley & sons, 1999
- [2] William T.Silfvast, *Laser Fundamentals*, Cambridge University Press(2004)
- multilayered structures*, Plenum press,1988.
- [4] vivek Bakshi and W.C. Nunnally " Measurement of temperatures in Optically Thick Railgun Plasma Armatures" IEEE TRANSACTIONS ON MAGNETICS, VOL 31 .NO.1 January 1995.
- [5] V K UNIKRISHNAN et " Measurments of plasma temperature and electron density in laser induced Copper plasma by time- resolved spectroscopy of neutral atom and ion emissions" PRAMANA journal of physics Vol. 74, no.6 June 2010 pp.983-993



شکل ۷: قرمز: نمایه دمایی لیزر بخار مس با آینه اصلی لیزر در kHz ۲۲.۲ Torr در فشار 10^{-3} ؛ سبز: فرکانس 10.38 kHz در فشار 10^{-2} Torr؛ بنفش: نمایه دمایی لیزر با آینه مسی در فرکانس 10.38 kHz در فشار 10^{-2} Torr



شکل ۸: قرمز: دمای دیواره لیزر بخار مس با آینه اصلی لیزر در فشار 10^{-2} Torr و با فرکانس‌های مختلف. آبی: دمای لیزر بخار مس با آینه مسی و زیر لایه BK7 در همان فرکانس‌ها در فشار 10^{-2} Torr



شکل ۹: قرمز: توان خروجی طول موج زرد لیزر بخار مس در حفره مرکزی با آینه مسی و زیر لایه BK7 در فشار 10^{-2} Torr. سبز: توان خروجی طول موج سبز لیزر بخار مس با آینه مسی در حفره مرکزی در فشار 10^{-2} Torr